

МАТЕРИАЛЫ

Международной научной конференции «Технологии и методики современного инженерного образования, науки и производства», посвященной 45-летию организации Фрунзенского политехнического института — Кыргызского технического университета им. И. Рazzакова

(7-8 октября 1999 г.)

МАТЕМАТИКА, ФИЗИКА, МЕХАНИКА

БИШКЕК 1999

ур. сен
08.21.640

УЧ. КУРСАНДЕН
У. Т. Канышев
УКРП
30.05.2011



Библиографический список

1. Денисюк Ю.Н. Об отображении оптических свойств объекта в волновом поле рассеянного им излучения. -ДАН СССР. 1962, т.144, вып.б. -С. 1275.
2. Денисюк Ю.Н. Об отображении оптических свойств объекта в волновом поле рассеянного им излучения. -Опт. и спектр., 1963, т.15. -С. 522.
3. Kogelnik H. Holographic image projection through inhomogeneous media. - Bell Syst. Techn. J., 1965, v. 44. - P.2451.
4. Денисюк Ю.Н. Об отображении оптических свойств объекта в волновом поле рассеянного им излучения, II. -Опт. и спектр., 1965, т.16. -С. 276.
5. Van Heerden R. J. Theory of optical information storage in solids. - Appl. Opt., 1967, v.2, №4. -P.393.
6. Кальдер Р., Бересфорд Х., Линн Д. Оптическая голография. -М., Наука, Мир, 1973.
7. Weber A.M., Smothers W.K., Trout T.J., Miskich D.J. Hologram recording in DuPont's new photopolymer materials // Proc. SPIE. -1990. V. 1212. -Р. 30-39.
8. Ахсан А.А., Жумашев К.М., Сагымбасов А.А., Сагымбаев Д.А. и др. // Оптический журнал. №4, 1998. -С.34.
9. Ахсан А.А., Майоров С.А. // Когерентные вычислительные машины. -Л., Машиностроение, 1971. -С.450.
10. Kogelnik H. Coupled wave theory for thick hologram gratings. - Bell Syst. Techn. J., 1969, v. 48, №9. -P. 2922.
11. Жумашев К.М., Сагымбасов А.А., Сагымбаев Д.А. // Наука и новые технологии. №3, 1997. -С.5.

САМОУСИЛИЕНИЕ ГОЛОГРАММ В ОБЪЕМНОЙ РЕГИСТРИРУЮЩЕЙ СРЕДЕ ФИРМЫ DU PONT

К.М. Жумашев, Д.А. Сагымбаев, И.А. Ахсанов,
А.Г. Токонов, К.А. Сагымбасова, С.Н. Аттыбадов, КТУ, Бишкек

Фотополимеризуемых материалов (ФПМ) являются разновидностью оптических светочувствительных сред. Под действием света в них происходит радикальная полимеризация исходного мономера, которая приводит к увеличению показателя преломления материала /1,2,6,8/.

Эффект СУ голограмм в ФПМ фирмы Du Pont исследован нами в КТУ. Настоящая работа является продолжением и обобщением исследований.

По механизму проявления различаются: когерентное СУ, обусловленное продолжением голограммической записи цифровыми векторами когерентными световыми пучками; некогерентное СУ, обусловленное в основном увеличением контраста голограммы при облучении некогерентными световыми пучками и термостимулируемыми проносами.

Эксперименты по когерентному и некогерентному СУ голографии осуществлялись с помощью голографической установки, собранной на обычной симметричной двухлучевой схеме. В основном исследовалось СУ проекционных голографических решеток с периодом $\Lambda=0,35\text{--}30$ мкм в фазотонометре лазерного диода (Спект. № 352 с линией $d=25$ мкм при записи и возбуждении СУ аргоновым лазером ($\lambda=488$ нм) со средней интенсивностью света $I_0=0,5\text{--}1,5$ мВт/см².

Рассмотрим случай, когда фотополимеризующийся слой экспонируется в интерференционном поле двух лазерных пучков, будем предполагать, что изменение интенсивности пучков по глубине фотополимеризующегося слоя не значительно. Запишем поле интенсивностей в фотополимеризуемом слое и тангенциальном направлении:

$$I = I_0 [1 - \cos(2\pi k / \Lambda)], \quad (1)$$

где $I_0 = I_x + I_y$ - суммарная интенсивность пучков;

$$\eta = 2\sqrt{I_x I_y} / (I_x + I_y) - контраст интерференционной картины;$$

Λ -период записываемой решетки. Когерентное возбуждение СУ происходит при $\theta=0$ (0 -угол Брэгга). Одновременно с записью проекционной решетки, с помощью гелий-исонового лазера ЛГИ-215 ($\lambda=632,8$ нм) под углом Брэгга θ , делалось зонирование дифракционных решеток и наблюдение за динамикой дифракционной эффективности $\mathcal{D}\mathcal{E}$. В ходе эксперимента произошло запись десяти решеток на соседних участках материала, и во каждом из них осуществлялся статистический анализ измеряемых величин. В экспериментах исследовалась зависимость самокалибровки - зависимость дифракционной эффективности $\mathcal{D}\mathcal{E}$ от времени при различной интенсивности записывающих пучков I_0 и периода голографической решетки Λ .

Изменение $\mathcal{D}\mathcal{E}$ в процессе формирования голографии (рис.1) зависит от интенсивности записывающих пучков. При большой интенсивности записывающих пучков, когда скорость полимеризации превышает скорость диффузивного массопереноса, дифракционная эффективность сначала возрастает, после окончания жизни голографии - падает до уровня в результате протекающих диффузионных массопереносов, а затем после завершения последнего проявляется снова начиная удаляться до эффективности, близкой к исходной. По-видимому, максимальные склонности к полимеризации ОПМ диктируют в случае, когда скорость диффузивного массопереноса превышает скорости полимеризации. При этом скорость голографической решетки определяется скоростью полимеризации и может быть увеличена выбором минимизирующей системы и другими известными методами.

Поскольку цикл работы является как исследование механизма самоусиления, так и оптимизация данного режима для получения голографии с максимальной $\mathcal{D}\mathcal{E}$, то проводится выбор рабочей точки, заложенной в указанном ряду.

обеспечивающей достижение максимального значения ДЭ голограмм в результате их темного СУ. На рис.2 представлена зависимость временно достижимого стационарного значения $\pi_{\text{ст}}$ от времени сенсибилизации однородным УФ полем. В качестве источника использовалась УФ лампа с мощностью 10 Вт. видно, что максимальная чувствительность при $t_s=30$ с. Снижение ДЭ в области больших экспозиций связано, по-видимому, с потерей чувствительности из-за сенсибилизации мономеров. Низкие ДЭ в области малых экспозиций при сенсибилизации связаны, по-видимому, низкой светочувствительностью мономеров.

При брагговском считывании голограммы с иной исходной дифракционной эффективностью η_0 одним из записывающих пучков наблюдается возрастание ее ДЭ $\pi(t)$. На рис.1 представлена характерные динамические кривые $\pi(t)$ при $\eta_0=0.01$ (двухлучевая запись в данном случае прерывалась при $\pi=1.5$ для $\lambda_d=632.8$ нм).

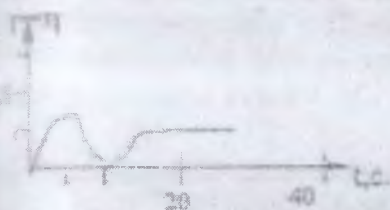


Рис. 1. Динамика изменения ДЭ (отн. ед.) в процессе формирования голограммы

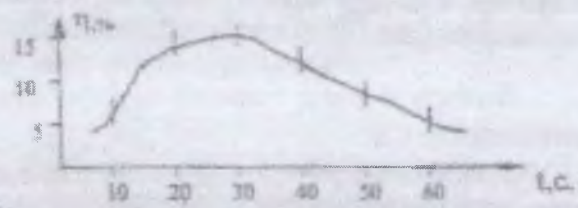


Рис. 2. Зависимость ДЭ при темном СУ от времени при сенсибилизации неконгруэнтным однородным светом

При облучении решетки синим из записывающих пучков наблюдается конкавный рост $\pi(t)$ с выходом на стационарное значение. Этот процесс, характеризующий СУ ДЭ, может быть описан коэффициентом

$$\xi_c = \frac{\pi_{\text{ст}}}{\pi_0} \cdot \frac{1}{\pi_0} \cdot \frac{1}{\pi_0}, \quad (2)$$

где π_0 - конечное стационарное значение ДЭ.

π_0 - начальное значение ДЭ.

Этот коэффициент может быть определен как коэффициент самоусиления. Установление стационарного значения π_0 связано с застоеением процесса записи. Наблюдалось симметричное СУ голограмм для обоих симметричных брагговых пучков. При этом наблюдалось отклонение максимума восстановленного сигнала из исходный угол в направлении увеличения угла падения считающего пучка. Это отклонение компенсируется с поворотом образца на угол -0.5° .

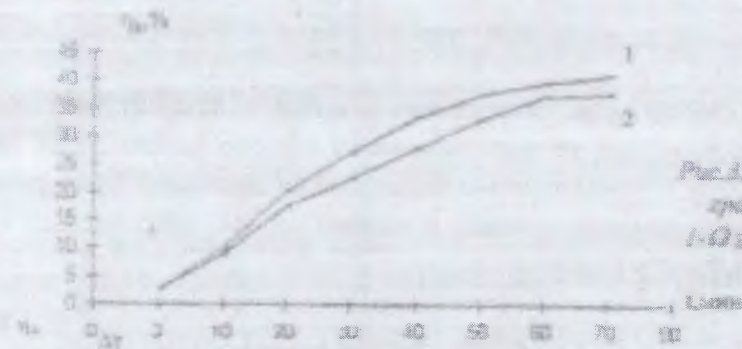


Рис. 3. Динамические кривые для оптического сопротивления
1- $O=2400 \text{ нм}^2$; 2- $O=1500 \text{ нм}^2$

В связи с этим, помимо коэффициента СУ, введен скорректированный коэффициент СУ

$$\xi_{\text{н}}=\eta/\eta_0 \quad (3)$$

В ходе эксперимента ДЭ голографической решетки измерялась на длине волны 632,8 нм, а для 488 нм пересчитывалась по формуле (8):

$$\eta_{0,48} = \eta_0^2 \left[\left(\lambda_2 / \lambda_1 \right) \arctan \left(\sqrt{\eta_{0,63}} \right) \sqrt{\left(n^2 - \sin^2 \theta_1 \right) / \left(n^2 - \sin^2 \theta_2 \right)} \right] \quad (8)$$

где θ_1, θ_2 - углы падения (в воздухе) для $\lambda_1 = 488 \text{ нм}$ и $\lambda_2 = 632,8 \text{ нм}$ соответственно; n - средний показатель преломления (пластик не учитывается). Высота η вычислялась из зависимости $\eta_{0,48}(t)$ по формуле

$$\eta(t) = \frac{A \cdot \eta_{0,48}}{d} \arcsin \sqrt{\eta_{0,63}(t)}, \quad (5)$$

где d - толщина решетки.

После завершения реакции полимеризации ДЭ упакованной решетки можно было измерить на длинах волн 488 и 632,8 нм. Поэтому конечная и скорректированная ДЭ измерялись на обеих длинах волн и были в хорошем согласии с (4). На рис. 4 приведены величины коэффициентов связывания $\xi_{\text{н}}(a)$ и $\xi_{\text{н}}(b)$ в времени для $\lambda = 632,8 \text{ нм}$.

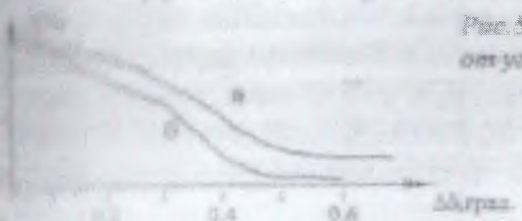


Рис. 4. Динамика коэффициентов связывания $\xi_{\text{н}}(a)$ и $\xi_{\text{н}}(b)$ во времени для $\lambda = 632,8 \text{ нм}$.

нашему, что коэффициенты усиления $S_{\text{вх}}$ и $S_{\text{вых}}$ многократно уменьшаются при этом. Максимальный коэффициент усиления для исследуемого материала определен экспериментально, составив 16,5. Скорректированные диаграммы эффективности при этом достигали около 41 %.

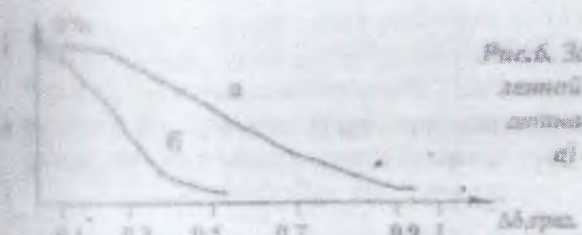
Рис. 5. Зависимость относительной ДЭ решетки от угла наклонения восстановленного пучка:

а) до усиления решетки;
б) после усиления решетки.



На рис. 5 представлены характеристики угловой селективности решетки в исследованном материале при формировании дюйма пучками до (а) и после (б) усиления при деструктивном считывании на длине волны 632,8 нм. На рис. 6 приведены характеристики угловой селективности усиленной дифракционной решетки (в) с эффективностью около 40% на длинах волн 488 нм и 632,8 нм.

Рис. 6. Зависимость относительной ДЭ усиленной решетки от угла наклонения восстановленного пучка при разных длинах волн:
а) 488 нм; б) 632,8 нм.



Некоторые наблюдаемые закономерности съемоусиления можно интерпретировать на основе дополнительных голографических решеток, предложенных в [10]. Дополнительные решетки формируются дифрагированием поляризованными волнами исходной голографической решетки. Приближенно можно считать сиязанными волнами Когельмана [7]. Благодаря интерференции между волнами гуслевых и минус первых порядков дифракции возле точки отражения образуются три голографические решетки одной пространственной частоты (рис. 7). Согласно Когельману [7] и Кондакову [9]

$$2R_0S_0 \cos\left(\frac{4\pi}{\lambda}x \sin\theta\right), \quad (6) \quad 2R_0R_1 \cos\left(\frac{4\pi}{\lambda}x \sin\theta - \frac{\pi}{2} + \psi\right), \quad (7)$$

$$2R_0S_{-1} \cos\left(\frac{4\pi}{\lambda}x \sin\theta + \frac{\pi}{2} + \psi\right). \quad (8)$$

Величина ϕ характеризует сдвиг решетки в динамическом процессе записи. При $I_{\text{вх}} > I_0 \psi = \phi$; при $I_{\text{вх}} = I_0 \psi = \phi$ и при $I_{\text{вх}} < I_0 \psi = -\phi$. Величина ϕ определяется поворотом голографической решетки в процессе записи пропускающих фильтров или изменением периода в процессе записи отражательных голографии и пропорциональна экспозиции (б-г).

Каждую из этих решеток можно представить в виде вектора, модуль которого пропорционален амплитуде решетки, а его положение относительны выбранного направления определяет фазу рассматриваемой решетки. Соответствующая векторная диаграмма представлена на рис.8.а. Вектор a соответствует основной решетке, записываемой пучками R и S , векторы b_1 и b_2 изображают дополнительные решетки, образованные соответственно в результате интерференции пучков R_0, R_1 и S_0, S_1 . На рис. 8.б показан случай, соответствующий равенству интенсивностей пучков $I_0 = I_1$ и $\psi = 0$. Очевидно, что в этом случае вектор суммарной решетки равен вектору основной решетки a . При небольшом векторном сдвиге (рис.7) позволяет получить соотношения для степени усиления при считывании лучом S

$$\xi_1 = \frac{c_1^2}{a^2} = 1 + \left(\frac{b_1}{a}\right)^2, \quad (9)$$

откуда следует, что при любых малых значениях b_1 , $\xi_1 > 1$, т.е. имеет место усиление голографии, причем вид ξ_1 сохраняется для обоих брэгговских пучков.

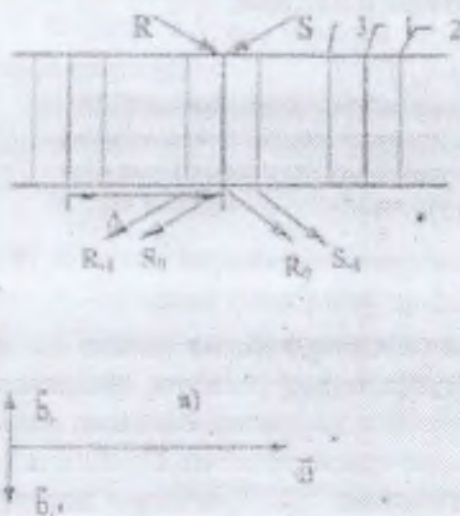


Рис.7. Формирование основной (1) и дополнительных решеток (2 и 3) при двухлучевой записи в среде с оптикой в различном масштабе времени

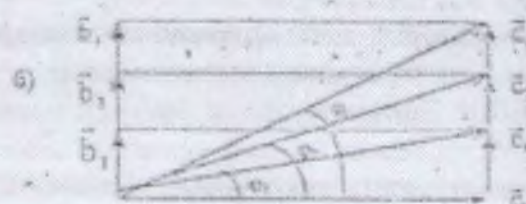


Рис.8. Векторная диаграмма дополнительных решеток, показывающая эффект когерентного СУ. а- запись фокус пучками равной интенсивности; б- считывание исходной решетки брэгговским пучком S .

Заключение

1. ОПМ фирмы Du Pont для записи голографической информации характеризуются наличием эффекта СУ, развитие которого после прекращения двухлучевой записи приводит к росту исходной ДЭ до стационарного значения.
2. Предельно достижимые в результате СУ значения ξ_{\max} при заданной интенсивности записывающих пучков определяются выбором рабочей точки и в

значения τ_0 . Для заданного τ_0 в области малых значений A , τ_{rec} увеличивается с уменьшением периода голограммической решетки. Увеличение τ_{rec} объясняется уменьшением длины диффузационного пробега мономера и увеличением модуляции ее концентрации по слою.

Повышение интенсивности записывающих пучков приводит к увеличению яркости СУ и росту τ_{rec} . Это объясняется зависимостью степени полимеризации и плотности упаковки полимерных молекул от интенсивности облучения.

На ФГМ фирмы Du Pont характерен процесс когерентного СУ голограмм. Максимально достигнутый коэффициент СУ составляет $\sim 16,5$.

Характерной особенностью СУ в указанных материалах является: $\tau(t)$ всегда превышает τ_0 и стабилизируется на достигнутом уровне по завершении процесса голограммической записи.

Сдвиг максимума восстановленного сигнала от условий записи связан с наличием результирующей решетки, сформированной при когерентном СУ. Результирующая решетка начнет влиять на ДЭ при высоких значениях коэффициента когерентного СУ.

Библиографический список

- Боот В.Л. //App. Opt.-1972.-Vd.11. -P.2994-2995.
Booth V.L. //App. Opt.-1975.-Vd.14. -P.593-601.
Джап А.А., Жумалиев К.М., Сагымбаев А.А., Сагымбасаев Д.А. //Оптический журнал. т.65. №4. 1998. С.37-42.
Джап А.А., Жумалиев К.М., Сагымбаев А.А., Джаманкузов Н.К., Сагымбасаев Д.А. //Наука и новые технологии. №1.1997. -С.17-22.
Джап А.М., Zhumailev, A.A. Sagymbaev, N.K. Dzhamanqyzov, D.A. Sagymbaev //Quantum electronics, 1996, vol.26.
Джапалов W.K., Менгес В.М., Weber A.M., Keys D.E. //Practical Holography IV: SPIE ОЕ /Laser Conf., Los Angeles, 1990; Proc. -S.1, с.2.
Коггинс H. //Bell system Tech.J.-1969.-Vol.48. -P.2909-2947.
Кельнер Р., Беркшард К., Лин Л. Оптическая голограмма: Пер. с англ. -М., Мир, 1973.
Kowarshik R. //App. Phys., 1981, Bd.38, N.6, p.396-404.
Шварц К.К. Физика оптической записи в полупроводниках и диэлектриках. Рига: Зинатне, 1986. -280 с.

ОПРЕДЕЛЕНИЕ ДИЭЛЕКТРИЧЕСКОЙ ПРОНИЦАЕМОСТИ СМЕСИ ПО МАКСИМУМУ ЧИСЛА СОСТОЯНИЙ СИСТЕМЫ С РАВНЫМИ ДИЭЛЕКТРИЧЕСКИМИ ПРОНИЦАЕМОСТЯМИ

14. Метод кристаллических сеток в механике твердых тел. Жадрасинов Н.Г. Караганда, Респ. Казахстан.	52
15. Исследование влияния различных помех на устройство оптического считывания сложных сигналов. Жапибеков Н. ЖАГУ, Джалал-Абад.	56
16. Оригинальная ассоциативная память, основанная на алгоритме обратного функционирования. Колбеков А.А., Эсекесова Ч.Э. Сарыбасов А.А. КРСУ, КТУ, Бишкек.	61
17. Особенности мультиплексирования голограмм в трехмерных физических видеоизображающих устройствах. Жумашев К.М., Сагымбек А.А., Акжанов Н.А., Абакиров Ж., Токонов А.Г., Астарабаев А.Н. КТУ, Бишкек.	66
18. Самоусиление голограмм в объемной регистрирующей среде фирмы DU PONT. Жумашев К.М., Сагымбек А.А. Акжанов Н.А., Токонов А.Г., Сагымбек С.Н., Атабаев С.Н. КТУ, Бишкек.	71
19. Определение циклической производимости смеси по максимуму числа состояний системы с равными полострочныхами временного шага. Жолдасова Э.Б., Сатиркулов К.А. КТУ, Бишкек.	77
20. Исследование механизмов срезания сферулитических пород из синтети- зированных стекол. Каскакынов Н.К. КТУ, Бишкек.	86
21. Многоспектральный голографический интерферометр. Псембек Ю.Х. КТУ, Бишкек.	91
22. Спектры ЭПР новой меди и их изменение под действием рентгенов- ского облучения. Кубанов К.К., Эсекесова Ч.Э. АТУ, Бишкек.	95
23. Аналитическое моделирование влияния внешних воздействий на структурные характеристики МДБ-транзисторов. Манжакова С.Н., Михеева Н.Н. КРСУ, КТУ, Бишкек.	98
24. Теоретические основы электрохимической эрозии электродов Мокрынов А.Н., Мухамедиев В.Н., Харин С.Н. АИЭиС, Алматы, Респ. Казахстан.	103
25. Изучение физико-химических процессов, протекающих при термообра- ботке в золотистодиодной пленке. Сатиркулов К.А., Каннэрра Ч.Л., Муканбетов К.М., Баркоти Б.М., Абдрахимов Н.Н. КТУ, КГНУ, Бишкек.	108
26. Определение объема трека рентгенофотонов по реакции вы- становления F-центров в цитовидных кристаллах КВг. Турдумбаяев К.Т., Гургунбаев Н.А. КТУ, Бишкек.	111
27. Усовершенствование коронно-электростатических барабанных сепараторов. Сулайменов О.А., Коргонбеков Ж.А., Казымов Е.А. ТарГУ, Тараз, Респ. Казахстан.	114